



$$\frac{\partial b}{\partial t} = -\frac{1}{\alpha B(1-\lambda)} \left\{ \frac{\partial(i_b B_b \cdot B)}{\partial x} - i_b \frac{\partial(B_b \cdot B)}{\partial x} \right\} \dots \dots \dots (4)$$

式(1)に於いて  $\lambda = \lambda_0$  とすれば式(3)に一致し、さらに  $\partial \lambda / \partial t = 0$  とおけば従来の式に一致する。

### 3. 混合砂河床における掃流量

混合砂の掃流量式としては Einstein 式が有名であり、混合粒径による効果を補正係数で表わしている。我々の実験データより Einstein の式により  $\xi$  を逆算して示すと図-3 のようになる。図には浅田らのデータも記入されているが傾向はほぼ同じで、Einstein の予之に線よりかなりゆがんで、Egiagaroff の式とよく合っている。

次に佐藤吉川・芦田公式を基準にし、 $\xi_* = \xi \cdot \xi'$  と定義される  $\xi'$  を求めると図-4 のようである。ここに、 $\xi_*$  は  $\xi = \phi \xi_*^{1.5} f(u_* / u_{*c})$  より  $\xi = i_b B_b / i_b B_{sgd}$  の実測を予之に求めた値、 $\phi = u_* / s g d_i$ 、 $s$  は砂粒の水中比重、 $d_i$  はある粒径範囲の砂の平均粒径である。図をみると Einstein の  $\xi$  とほぼ同様になっているが、掃流量が大きくなると  $\xi \rightarrow 1$  の傾向がみられる。しかし、掃流量が限界掃流量に近い場合には  $\phi$  が変わっても  $\xi'$  は殆んど変わらないが、掃流量が大きくなると  $\xi'$  は  $\phi$  に比例して変化するの  $\phi$  の誤差による影響が大きくなる。さて、図により、 $\xi' = (\bar{d} / d_i)^n$  (ここに、 $\bar{d}$  は河床砂の平均粒径) とおくと、

$$\xi = \frac{\phi}{s g} \left( \frac{d_i}{\bar{d}} \right)^{1.5n} u_*^{1.5} f \left\{ \frac{u_*}{u_{*c}} \cdot \left( \frac{d_i}{\bar{d}} \right)^{-n} \right\}$$

となるが、掃流量が限界掃流量に近くなると大きい粒径ほど動きにくくなるので  $n < 1$  とおければよい。従って  $d_i / \bar{d}$  があまり小さくない範囲では Egiagaroff の式が適用できるとある。掃流量が大きくなると  $i_b B_b$  は  $d_i^{1.5n}$  に比例するが、掃流量が大きい場合は粒径が大きい程掃流量が大きくなるのか、

あるいはそうならなくて  $\xi$  が掃流量に依っても変化するかという点に問題がある。この点には掃流量の大きい河床の分級作用と関連するの分級を検討する必要がある。

### 参考文献

- 1) 平野：貯水池下流の河床低下と Armouring 現象について、第14回水理講演会講演集、昭45.2
- 2) 浅田、石川：回流水路による混合砂礫の流送実験、第23回年次学術講演会講演概要、昭44.10
- 3) Egiagaroff: Calculation of Nonuniform Sediment Concentration, proc. of ASCE, HY4, 1965

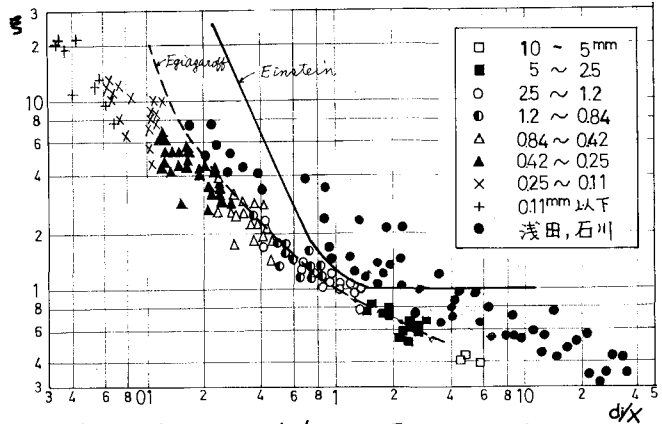


図-3  $\xi$  と  $d_i/X$  の関係 (Einstein 式)

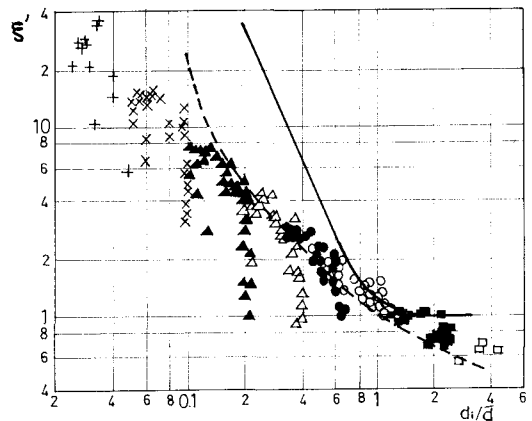


図-4  $\xi'$  と  $d_i/\bar{d}$  の関係 (Egiagaroff 式)